

# Deteção de máquinas virtuais

Pedro Miguel Nicolau Escaleira  
escaleira@ua.pt

03/05/2021

## Conteúdo

<b>1. INTRODUÇÃO .....</b>	<b>2</b>
<b>2. MEDIÇÕES .....</b>	<b>3</b>
2.1 MEDIÇÕES EM MODO DE UTILIZADOR .....	4
2.2 MEDIÇÕES EM MODO KERNEL .....	5
<b>3. DETECÇÃO DE VIRTUALIZAÇÃO .....</b>	<b>8</b>
<b>4. REFERÊNCIAS .....</b>	<b>10</b>



## 1 Introdução

Este trabalho foi feito no enquadramento dos temas lecionados na disciplina de Ambientes de Execução Seguros, do Mestrado de Cibersegurança da Universidade de Aveiro. Nele, foi-nos proposto criarmos um programa que possuísse "consciência" de se está a ser ou não executado dentro duma máquina virtual.

No ponto de vista de segurança informática, existem múltiplos casos de uso onde este tipo de programas podem ser usados, desde *malware* que altera o comportamento a partir do momento que detete que está a ser executado numa máquina virtual, dificultando a sua deteção e análise de comportamento quando executado num ambiente seguro como uma *sandbox* [1], até *rootkits* que virtualizam todo o sistema operativo sob ataque, permitindo ganhar controlo do mesmo. Estes *rootkits*, ao virtualizarem todo o sistema sob ataque, podem ser difíceis de detetar, sendo importante programas como os desenhados durante este trabalho para alcançar esse objetivo.

O primeiro *rootkit* desta classe que foi criado, foi o projeto *SubVirt* da *Microsoft* [2], que fazia uso de "virtualizadores comerciais", como o *VMware* para fazer a virtualização do sistema operativo. Contudo, pelo facto de usar este tipo de virtualização, a sua instalação num sistema era complexa e, sendo que tinha de haver uma emulação de todo o I/O, a deteção era mais ou menos facilitada, por exemplo através da deteção de modificações das *drivers* do SO. Mais tarde, surgiram *rootkits* desta família mais complexos que o *SubVirt*, como por exemplo o *Blue Pill*, desenhado pela investigadora *Joanna Rutkowska*, que fazia virtualização ao nível do *hardware*, aumentando a complexidade da sua deteção, e que era muito mais "leve" do que o primeiro. Neste caso, um dos métodos que poderia ser usado para detetar a existência de virtualização é a análise de quanto tempo demoram certas instruções a serem executadas<sup>1</sup>, tendo sido este o estudado e desenvolvido neste trabalho. [3, 4]

---

<sup>1</sup> Acima foi explicado que uma das formas de facilmente detetar a presença do *SubVirt* seria analisar alterações das *drivers*. Contudo, o *Blue Pill* não fazia qualquer alteração das mesmas, uma vez que virtualizava o sistema operativo ao nível do *hardware*, exigindo um mecanismo de deteção mais complexo e diferente deste primeiro.



## 2 Medições

O primeiro requerimento que tivemos de ter em consideração, antes de fazer qualquer medição, foi como é que iríamos medir a passagem de tempo duma dada instrução. Se, por um lado, fizéssemos uma medição com base no relógio do sistema, significaria que o valor das medições seriam demasiado dependentes da velocidade do CPU e do sistema operativo do computador onde seriam feitas. Contudo, se por outro lado fizéssemos uma medição com base em **ciclos de relógio** decorridos durante a execução da instrução sob estudo obteríamos, teoricamente, resultados dependentes da arquitetura do CPU. Desta forma, foi esta ultima estratégia a adotada no nosso trabalho, uma vez que é a mais consistente.

Apesar de ter sido dito, no parágrafo anterior, que com uma medição com base nos **ciclos de relógio** obteríamos medições dependentes apenas da arquitetura do CPU, na prática isto não é inteiramente verdade. Uma das razões é porque não há maneira de obtermos empiricamente o número exato de ciclos de relógio duma dada instrução. O mais próximo que temos deste conceito é usarmos a instrução **rdtsc** [5], ou a **rdtscp** [6], usadas para obter o valor do *Time Stamp Counter* (TSC) [7], que é o registo onde se encontra armazenado o número de ciclos desde o ultimo *reset*, caso o CPU estivesse a operar constantemente à velocidade máxima. Ou seja, obtendo este valor no início e no final duma dada instrução ter sido executada, somos contemplados com uma aproximação de quantos ciclos de relógio essa instrução levou até ser completada (caso o CPU esteja a operar à frequência máxima).

Outro dos principais motivos pelo qual não é possível obter uma medição precisa do número de ciclos de relógio duma dada instrução, é devido à existência dum *process scheduler* nos sistemas operativos modernos que, resumidamente, determina que "porção" dum dado processo será executada em cada momento no processador. Isto permite a "divisão" dum processo em várias partes, sendo que cada uma não é necessariamente executada a seguir à anterior, uma vez que o *scheduler* poderá indicar que outra "parte" de outro processo seja executada entretanto, colocando o nosso processo em espera. Desta forma, sendo que são executadas múltiplas instruções para fazermos a medição dos ciclos de relógio duma determinada instrução (como vimos acima, pelo menos é necessário executar duas vezes uma das duas instruções de leitura do TSC, para além da própria instrução que está a ser estudada), não há maneira de garantir que elas sejam realmente realizadas uma a seguir à outra [8, 9]. De forma a diminuir o erro que é introduzido devido à existência deste mecanismo, as instruções sob estudo foram executadas múltiplas vezes, de forma a obter o máximo de medições possíveis, na expectativa de que quantas mais vezes a instrução for executada, mais provável será encontrar o mínimo de número de ciclos de relógio que ela necessita para ser executada.

Outro ponto importante a notar sobre este estudo foi que tentamos usar instruções que possivelmente causariam **VM Exits**. Este evento ocorre quando a máquina virtual necessita de executar certas instruções específicas, que não podem ser executadas diretamente no CPU, sendo que há a "passagem do controlo" para o *Virtual Machine Monitor* (VMM), de forma a que a instrução seja virtualizada pelo *Hypervisor* [10]. Devido ao tempo acrescido do **VM Exit** e do consequente **VM Entry** conseguimos, em teoria, detetar se o nosso programa está a ser executado numa máquina virtual, por comparação do tempo que uma dada instrução demoraria num ambiente não virtualizado (onde estes eventos não ocorrem e a instrução é executada diretamente no CPU).

Contudo, sendo que uma instrução é executada muito rapidamente por um processador, mesmo quando num ambiente virtualizado, fizemos as nossas medições perante o tempo que demorava a ser executada essa instrução num ciclo, por exemplo de 100 iterações. Por outro lado, após aviso dos docentes, foi-nos chamado a atenção de que esta medição não bastaria, uma vez que, mesmo para CPUs com a mesma arquitetura, haveriam variações no tempo que uma mesma instrução demoraria a ser executada. Desta forma, tivemos de acrescentar às nossas medições algo que nos permitisse fazer a deteção em máquinas diferentes com processadores da mesma arquitetura. O método levado a cabo foi utilizar uma segunda instrução para controlo, no nosso caso a instrução **XOR**, que não provoca qualquer **VM Exit** nas máquinas virtuais<sup>2</sup>. Desta forma, tendo em conta que o número de ciclos de relógio que as instruções de duas máquinas com CPUs distintos, mas da mesma arquitetura, variam da mesma forma de um CPU para o outro, a razão entre os ciclos de relógio das duas instruções é similar entre as duas máquinas. Ou seja, se tivermos uma instrução A, que demore x vezes mais ciclos de relógio numa dada máquina do que noutra, com CPUs diferentes, mas

<sup>2</sup>Isto permite que, para uma mesma máquina, o valor mínimo do tempo que um ciclo com as mesmas iterações desta instrução seja sensivelmente o mesmo.



da mesma arquitetura, outra instrução *B* demorará também sensivelmente  $x$  vezes mais ciclos de relógio na primeira máquina que na segunda. Sendo assim, a razão entre os ciclos de relógio das instruções *A* e *B* será similar nas duas máquinas.

Ainda sobre a implementação dos programas usados para fazer as medições, foi acima referido que foi feito um ciclo de instruções *XOR*, cujo número de iterações foi igual ao número de iterações do ciclo de instruções da instrução sob estudo. Contudo, caso indiquemos ao nosso programa para executar o mesmo *XOR* sob os mesmos registos num ciclo, o *pipeline* do CPU irá "ignorar" parte destas instruções, porque os últimos *XORs* anulam o que os anteriores fariam sob esses registos, uma vez que são todos iguais. Isto teria como consequência resultados incongruentes entre si, uma vez que não estaria no nosso controlo o número de instruções *XOR* que o CPU iria executar. Desta forma, usámos um conjunto de 4 instruções *XOR* "hostis à *pipeline*"<sup>[11]</sup>, providenciadas pelos docentes, encadeadas de tal forma que cada uma depende do resultado da instrução *XOR* anterior, impedindo a *pipeline* de "simplificar o trabalho". Assim sendo, este conjunto de 4 instruções *XOR* foi colocado dentro do referido ciclo, permitindo fazer a razão entre o tempo que este ciclo demora e o correspondente ciclo da instrução em estudo.

Em termos do *setup* usado para fazer o nosso estudo, usamos duas máquinas com processadores de duas marcas distintas, *AMD* e *Intel*, ambos *X86*, de forma a podermos validar a nossa hipótese de que a razão entre os ciclos de relógio duma dada instrução sob estudo e a instrução *XOR* seria similar entre processadores distintos da mesma arquitetura. Em cada uma das máquinas, usamos o *Manjaro Arch Linux* como sistema operativo para fazer a execução dos nossos programas de medição e *setup* das máquinas virtuais. Em cada um deles, as máquinas virtuais usadas para fazer o nosso estudo foram a *VirtualBox*, *VMware* e *QEMU*, todas com o *Ubuntu 20.04 LTS* instalado. Na máquina com o processador da *Intel*, sendo que possuíamos o *Windows* em *dual boot*, fizemos também medições numa máquina virtual *Hyper-V*, também com o sistema operativo *Ubuntu 20.04 LTS*. Desta forma, pudemos obter uma gama variada de resultados para diferentes ambientes de execução, possibilitando um estudo mais abrangente.

## 2.1 Medições em modo de utilizador

Como explicado anteriormente, fizemos as nossas medições usando o método de executar um ciclo com um conjunto de instruções *XOR*, seguidas dum outro ciclo, com o mesmo número de iterações do primeiro, mas que executa, neste caso, a instrução *CPUID* <sup>[12]</sup>. Esta instrução foi escolhida para ser usada em modo de utilizador, uma vez que, de acordo com o manual da *Intel*<sup>3</sup> <sup>[13]</sup>, esta é uma instrução que pode ser executada em modo de utilizador i.e., no modo protegido *Ring 3* do processador, e que provoca **incondicionalmente** um ***VM Exit*** quando executada numa máquina virtual.

Executamos, desta forma, este conjunto de etapas num ciclo com tamanho de 1000000, nas duas máquinas e respetivos ambientes virtuais e não virtuais referidos. Depois de obtermos os mínimos dos tempos obtidos para o conjunto de instruções *CPUID* e *XOR*, fizemos a razão entre estes dois valores para cada uma das diferentes execuções e obtivemos os resultados demonstrados no gráfico da figura 1.

Da análise deste gráfico é possível fazer algumas conclusões:

- A diferenciação entre um ambiente virtual e não virtual é notável, uma vez que a razão dos tempos no *host* é muito menor do que em qualquer uma das máquinas virtuais.
- Não existe uma grande diferença entre os valores obtidos nos virtualizadores *QEMU* e *VirtualBox*, em qualquer um dos processadores, pelo que o *fingerprint* de máquinas virtuais irá, potencialmente, dar muitas suposições trocadas nestes dois ambientes.
- Os valores obtidos no *VMware* e *Hyper-V*, no processador da *Intel*, são também muito similares, podendo originar o mesmo problema referido no ponto anterior, mas entre estes dois virtualizadores.

Outra dedução que é possível fazer é que a nossa hipótese de que os valores da razão, quando o programa executado num mesmo ambiente, variam muito pouco substancialmente entre os dois CPUs, uma vez que possuem a mesma arquitetura (*X86*).

---

<sup>3</sup>Na secção 25.1.2 do manual.

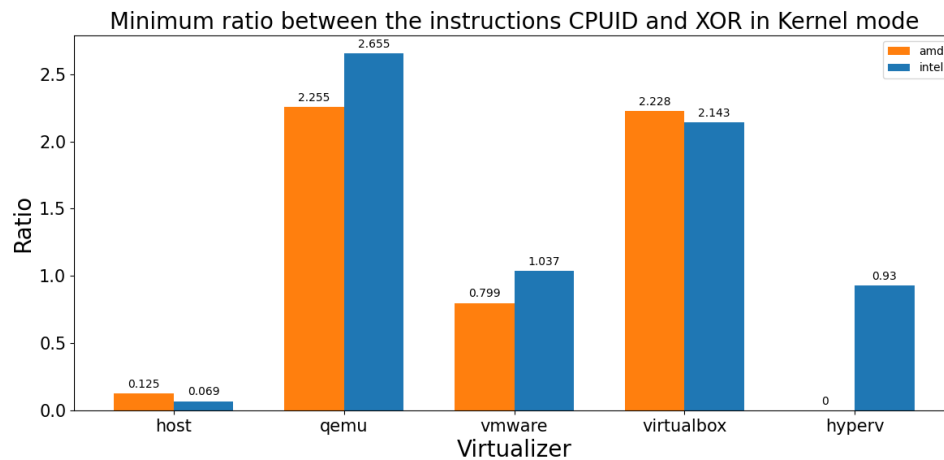


Figura 1: Razão entre o tempo de execução do conjunto de instruções *CPUID* e *XOR* em modo de utilizador.

## 2.2 Medições em modo kernel

Tal como nas medições em modo de utilizador, utilizamos o mesmo método de medição, mas desta feita, em vez de apenas fazermos medições com a instrução *CPUID*, usamos outras duas que provocavam **VM Exits condicionais**: o par *SGDT/LGDT*, usadas para obter e guardar valores na *global descriptor table* [14, 15], e o par *OUTb/INb*, no nosso caso usadas para obter o valor em segundos do *Real Time Clock (RTC)* [16, 17, 18]. Este conjunto de instruções só podem ser executadas no modo protegido *Ring 0* do processador, ou seja, em modo *kernel*. Como a própria expressão "condicionais" indica, estas instruções não garantem que haja um *VM Exit* sempre que sejam executadas, sendo que isso depende de certas configurações da própria máquina virtual. Poderíamos, claro, ter usado uma instrução de *Ring 0* que provocasse um **VM Exit incondicional**, como a instrução *INVD*, recomendada pelos professores da disciplina. Contudo, esta era demasiado perigosa se operada por alguém inexperiente nesta matéria, como era o caso, uma vez que invalida as *caches* internas do processador, pelo que decidimos não a usar [19].

Desta forma, criamos um módulo de *kernel*, de forma a podermos executar estas 3 instruções/par de instruções em *Ring 0*. Com este, coletamos dados do tempo de execução do conjunto de *XORs* e de cada conjunto de cada uma destas instruções, num ciclo de tamanho 10000 cada. No final, obtivemos as razões entre os mínimos dos tempos de cada instrução e do correspondente mínimo de tempo que o conjunto de *XORs* demorou a ser executado. Os resultados obtidos, para cada uma das instruções, podem ser encontrados nos gráficos das figuras 2, 3 e 4.

Mais uma vez, depois da análise destes dados obtidos, foi-nos possível fazer algumas conclusões:

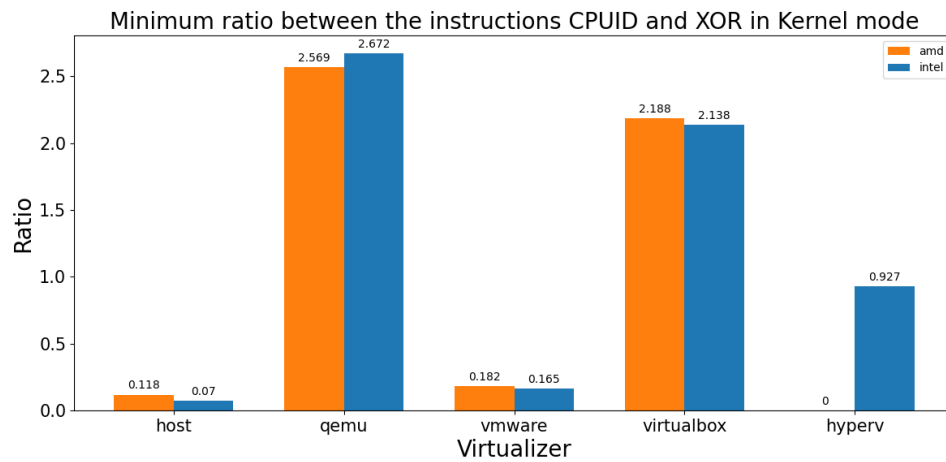
- No caso da instrução *CPUID*, os resultados obtidos foram, como expectável, similares aos resultados obtidos quando fizemos os mesmos testes em modo de utilizador. Contudo, no caso do *VMware*, foram algo inesperados, uma vez que para além de muito diferentes dos obtidos em *Ring 3*, foram também muito similares aos obtidos para um ambiente não virtualizado. Ora, tendo em conta que esta instrução causa um *VM Exit* incondicional, o esperado seria que os resultados num ambiente virtual, como uma máquina virtual *VMware*, fossem consideravelmente superiores aos obtidos num ambiente não virtualizado. Ao relatar estes resultados ao professor da disciplina André Zúquete, este informou que o *VMware* faz **tradução binária** (do inglês **binary translation**) do código do *kernel*, mas não do código executado em modo de utilizador. Desta forma, poderá substituir a instrução *CPUID* "por um conjunto de atribuições a registos", sem necessidade de qualquer *VM Exit*. Após alguma pesquisa, encontrámos referência a esta técnica num dos *white papers* do *VMware*, onde descrevem que o código do *kernel* que possua instruções "não virtualizáveis" é substituído por código com instruções que tenham o mesmo resultado e que possam ser executadas no *hardware* virtualizado [20]. Para rematar, usando esta técnica de tradução binária em modo *kernel*, o *VMware* "consegue" substituir a instrução *CPUID* por um



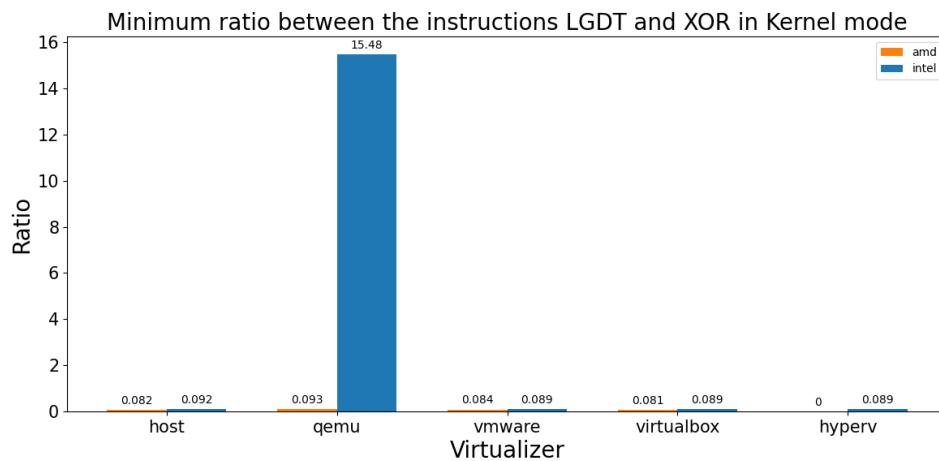
conjunto de outras instruções que sirvam o mesmo propósito no ambiente virtualizado, evitando um *VM Exit* e um consequente *VM Entry*, sendo que desta forma obtivemos valores similares aos obtidos num ambiente não virtualizado. Por comparação entre os gráficos das figuras 1 e 2, é também possível reparar que, excetuando o caso da *VMware*, os resultados obtidos são similares aos obtidos com esta instrução em modo de utilizador.

- No caso das instruções do par *SGDT/LGDT* pode-se concluir, após observação do gráfico da figura 3, que não será possível, pelo menos de forma precisa, fazer deteção de se o nosso programa está a ser executado num ambiente virtualizado ou não, nem o *fingerprinting* dos respetivos virtualizadores. Isto porque, apesar destas instruções provocarem um *VM Exit* condicional, nas nossas medições obtivemos resultados muito parecidos entre todos os ambientes, pelo que podemos concluir que em todos eles não houve *VM Exit*, tendo ocorrido qualquer outro mecanismo como o já discutido tradução binária, que permitiu que as razões entre os tempos medidos fossem muito similares às obtidas num ambiente não virtualizado. É de notar, contudo, que no caso do *QEMU* na máquina com o processador da *Intel*, obtivemos uma razão entre os tempos mínimos muito superior a qualquer outro ambiente, mesmo com o mesmo virtualizador na máquina com o processador da *AMD*, sendo que a explicação mais apropriada é que talvez haja uma diferença na forma como a virtualização está a ser feita neste caso, mesmo entre o mesmo virtualizador mas para processadores diferentes.
- Quanto às instruções do par *OUTb/INb*, cuja representação gráfica dos resultados pode ser observada no gráfico da figura 4, é de notar que há ambientes em que as razões dos tempos obtidas nos dois *CPUs* é muito díspar. No caso do ambiente não virtualizado (*host*), isto pode ser explicado porque, sendo que o conjunto de instruções usadas pede o valor do *RCT*, temos de ter em conta que há um tempo acrescido, dependente da velocidade do *hardware*, em que o CPU pede este valor e o recebe do *RCT*, pelo que deste gráfico se poderá concluir que o *hardware* que é usado para fazer o pedido deste valor e para enviar este para o *CPU* é mais lento na máquina com o processador da *Intel* do que na que possui o da *AMD*. Contudo, foi com alguma surpresa que observamos que, apesar de no *host* haver esta diferença, nas máquinas virtuais *QEMU* e *VMware* esta ocorreu ao contrário i.e., o valor obtido na máquina com o processador da *AMD* foi superior ao da máquina com o processador da *Intel*. Outra característica verificada foi que houve virtualizadores, principalmente na máquina com o processador da *Intel*, em que a razão obtida foi menor do que a obtida no ambiente não virtualizado, o que pode significar uma vez mais que não houve *VM Exit* (recordemo-nos que estas duas instruções não garantem um *VM Exit* em todas as circunstâncias), ou o *VMM* pode usar técnicas como a tradução binária para não executar as instruções dadas, mas sim outras que tenham o mesmo propósito, mas que possam ser executadas em *hardware* virtualizado. Tendo em conta todas estas diferenças entre *CPUs* e entre o *hardware* das máquinas, podemos concluir que este conjunto de instruções, pelo menos quando usadas para ler o *RTC*, poderão não ser a nossa melhor opção se o nosso intuito é detetar a presença de virtualização ou fazer *fingerprint* de máquinas virtuais.

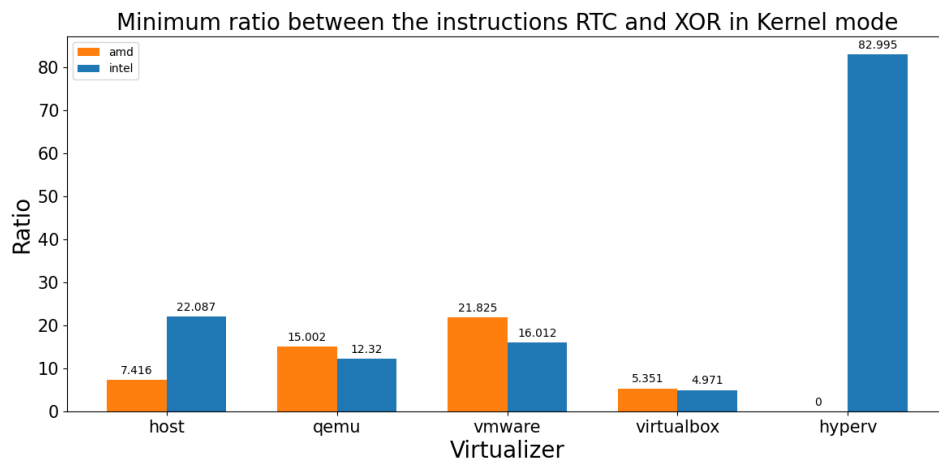
Das observações feitas acima, podemos concluir que, em modo *kernel*, a instrução que oferece mais estabilidade de resultados para um mesmo ambiente e onde estes permitem uma melhor discriminação entre os vários ambientes é a *CPUID*, pelo que esta será a opção mais viável a usar na deteção de virtualização e *fingerprint* dos vários virtualizadores.



**Figura 2:** Razão entre o tempo de execução do conjunto de instruções *CPUID* e *XOR* em modo *kernel*.



**Figura 3:** Razão entre o tempo de execução do conjunto de instruções do par *SGDT/LGDT* e *XOR* em modo *kernel*.



**Figura 4:** Razão entre o tempo de execução do conjunto de instruções do par *OUTb/INb* e *XOR* em modo *kernel*.



### 3 Detecção de virtualização

Depois das medições feitas e da correspondente análise dos dados obtidos, como apresentado na secção 2, prosseguimos para a deteção de virtualização e deteção de virtualizadores automáticas. Para isso, criamos um *script* de *Python* que indica qual o ambiente mais provável em que foi executado. Desta forma, podemos dizer que este código faz *fingerprinting* do ambiente em que é executado, pelo que os dois propósitos deste trabalho estão incluídos nele mesmo (ou seja, ao fazer *fingerprinting* do ambiente, se detetar que o ambiente é o *host*, significa que não detetou virtualização e caso indique um dos virtualizadores, detetou virtualização e fez o correspondente *fingerprint* do virtualizador).

O funcionamento deste código baseia-se, numa primeira etapa, na execução de um dos módulos apresentados na secção 2, de seguida, na obtenção dos resultados dessa mesma execução, filtragem dos mínimos temporais da execução da instrução *XOR* e de uma das instruções sob estudo e, por fim, faz uma comparação entre a razão destes dois mínimos e as razões obtidas durante a fase de medições. Desta comparação, que é feita através da diferença absoluta entre cada um dos valores previamente obtidos em cada ambiente e o valor obtido durante esta fase de deteção, o *script* seleciona a menor das diferenças e seleciona o ambiente que originou esse resultado como sendo o resultado da deteção.

O *script* é também versátil no que compete ao estudo que pretendemos fazer. Desta forma, podemos escolher a priori:

- A instrução a ser usada. Tendo em conta que fizemos medições para múltiplas instruções diferentes, é possível no detetor indicar qual a instrução a ser usada para fazer a deteção.
- Os dados de um dos CPUs usados nas medições previamente feitas. Sendo que fizemos medições usando duas máquinas diferentes com processadores de duas marcas diferentes, o *script* permite também selecionar quais os dados que pretendemos usar para fazer a comparação, se os obtidos com o processador da *AMD* ou com o da *Intel*.
- O modo em que pretendemos fazer a deteção. Podemos indicar se preferimos fazer a deteção em modo de utilizador ou em modo *kernel*.

É também possível indicar ao código, que pretendemos que ele dê um resultado mais verboso, sendo que neste caso irá não só indicar qual o ambiente em que "pensa"que foi executado, mas também os resultados das múltiplas comparações entre a medição feita no momento e as medições rótuladas. Na listagem 1 é apresentado o resultado da execução deste código com *output* verboso.

```
1 $ python hypervisor_detection.py --instruction cpuid --mode user --cpu amd --verbose 1
2
3
4
5 *****
6 Minimum obtained on this execution:                0.1105675
7
8 Distance to results from <host>:                    0.0139692          HIT
9 Distance to results from <qemu>:                     2.1448510
10 Distance to results from <vmware>:                   0.6882005
11 Distance to results from <virtualbox>:               2.1177051
12 Distance to results from <hyperv>:                   0.1105675
13 *****
14
15
16
17 Ambient detected using the data from the amd CPU with the instruction CPUID in user mode:      host
```

Listagem 1: Exemplo da execução do detetor.

Nas deteções feitas por nós, usamos apenas a instrução *CPUID*, quer em modo utilizador, quer em modo *kernel*, uma vez que, como explicado na secção 2, as outras instruções testadas apresentaram uma performance precária em termos de diferenciação de qual o ambiente em que foram executadas. Quanto aos





resultados propriamente ditos, em modo utilizador o detetor foi sempre capaz de detetar quando estava a ser executado num ambiente não virtualizado (ou seja, no *host*) e fez sempre corretamente a identificação do virtualizador no caso das execuções nos ambientes virtuais, falhando apenas a identificação quando usados os dados do processador da *Intel* nos ambientes *VMware* e *Hyper-V* e quando usados os dados do processador da *AMD* nos ambientes *QEMU* e *VirtualBox*, por vezes confundindo-os entre si. Já em modo *kernel*, as deteções feitas estiveram também dentro do esperado, sendo que por vezes houve a confusão entre se o código estaria a ser executado num ambiente virtualizado ou na máquina virtual da *VMware*, sendo que para os restantes ambientes conseguiu sempre fazer a identificação correta.



## 4 Referências

- [1] Nishad Herath. Virtual machines and how malware authors know when they are being watched, Mar 2020. Disponível em: <https://securityintelligence.com/virtual-machines-malware-authors-being-watched/> [Acedido em 12-05-2021].
- [2] Samuel T. King, Peter M. Chen, Yi-Min Wang, Chad Verbowski, Helen Wang, and Jay Lorch. Subvirt: Implementing malware with virtual machines. In *Proceedings of the 2006 IEEE Symposium on Security and Privacy*, pages 314–327. Institute of Electrical and Electronics Engineers, Inc., May 2006. Disponível em: <https://www.microsoft.com/en-us/research/publication/subvirt-implementing-malware-with-virtual-machines/> [Acedido em 12-05-2021].
- [3] George Ou. Blue pill: The first effective hypervisor rootkit, Aug 2006. Disponível em: <https://www.zdnet.com/article/blue-pill-the-first-effective-hypervisor-rootkit/> [Acedido em 12-05-2021].
- [4] George Ou. Detecting the blue pill hypervisor rootkit is possible but not trivial, Aug 2006. Disponível em: <https://www.zdnet.com/article/detecting-the-blue-pill-hypervisor-rootkit-is-possible-but-not-trivial/> [Acedido em 12-05-2021].
- [5] Félix Cloutier. Rdtsc — read time-stamp counter. Disponível em: <https://www.felixcloutier.com/x86/rdtsc> [Acedido em 28-04-2021].
- [6] Félix Cloutier. Rdtscp — read time-stamp counter and processor id. Disponível em: <https://www.felixcloutier.com/x86/rdtscp> [Acedido em 28-04-2021].
- [7] Kazutomo Yoshii. Time-stamp counter. Disponível em: <https://www.mcs.anl.gov/~kazutomo/rdtsc.html> [Acedido em 28-04-2021].
- [8] Operating system - process scheduling. Disponível em: [https://www.tutorialspoint.com/operating\\_system/os\\_process\\_scheduling.htm](https://www.tutorialspoint.com/operating_system/os_process_scheduling.htm) [Acedido em 28-04-2021].
- [9] Cfs scheduler. Disponível em: <https://www.kernel.org/doc/html/latest/scheduler/sched-design-CFS.html> [Acedido em 28-04-2021].
- [10] Yasser Shalabi. The cost of virtualization exits. Disponível em: <http://yshalabi.github.io/VMEExits/> [Acedido em 02-05-2021].
- [11] Detecting cpu speed - knowing how many cycles your loop takes. Disponível em: [https://wiki.osdev.org/Detecting\\_CPU\\_Speed#Knowing\\_how\\_many\\_cycles\\_your\\_loop\\_takes](https://wiki.osdev.org/Detecting_CPU_Speed#Knowing_how_many_cycles_your_loop_takes) [Acedido em 03-05-2021].
- [12] Félix Cloutier. Cpuid — cpu identification. Disponível em: <https://www.felixcloutier.com/x86/cpuid> [Acedido em 28-04-2021].
- [13] *Intel® 64 and IA-32 Architectures - Software Developer's Manual*, volume 3. Intel. Disponível em: <https://software.intel.com/content/www/us/en/develop/download/intel-64-and-ia-32-architectures-sdm-combined-volumes-3a-3b-3c-and-3d-system-programming-guide.html> [Acedido em 02-05-2021].
- [14] Félix Cloutier. Sgdt — store global descriptor table register. Disponível em: <https://www.felixcloutier.com/x86/sgdt> [Acedido em 02-05-2021].
- [15] Félix Cloutier. Lgdt/lidt — load global/interrupt descriptor table register. Disponível em: <https://www.felixcloutier.com/x86/lgdt:lidt> [Acedido em 02-05-2021].
- [16] Rtc. Disponível em: <https://wiki.osdev.org/RTC> [Acedido em 02-05-2021].
- [17] Ciro Santilli. x86-bare-metal-examples/in\_rtc.s. Disponível em: [https://github.com/cirosantilli/x86-bare-metal-examples/blob/9a24f92f36a45abb3f8c37aafc0c3ee9b15563ab/in\\_rtc.S](https://github.com/cirosantilli/x86-bare-metal-examples/blob/9a24f92f36a45abb3f8c37aafc0c3ee9b15563ab/in_rtc.S) [Acedido em 02-05-2021].



- [18] Inline assembly/examples - i/o access. Disponível em: [https://wiki.osdev.org/Inline\\_Assembly/Examples#I.2F0\\_access](https://wiki.osdev.org/Inline_Assembly/Examples#I.2F0_access) [Acedido em 02-05-2021].
- [19] Félix Cloutier. Disponível em: <https://www.felixcloutier.com/x86/invd> [Acedido em 02-05-2021].
- [20] *Understanding Full Virtualization, Paravirtualization, and Hardware Assist*, page 4–4. VMware. Disponível em: [https://www.vmware.com/content/dam/digitalmarketing/vmware/en/pdf/techpaper/VMware\\_paravirtualization.pdf](https://www.vmware.com/content/dam/digitalmarketing/vmware/en/pdf/techpaper/VMware_paravirtualization.pdf) [Acedido em 03-05-2021].